2021~2022 学年第一学期高一期末模拟练习（一）

地　理　试　题

命题人：刘启美　　审核人：李学忠

班级：_____　姓名：_____　学号：_____　日期：_____

一、单项选择题：（每小题只有一个正确选项，每小题 2 分，共计 60 分）

美国“好奇”号火星车在火星上拍摄到 15 张类似“蘑菇”的照片，下图为“火星‘蘑菇’照片”，下表为地球与火星数据比较。据此完成 1～2 题。

	与太阳的平均距离(10^8km)	赤道半径(km)	公转周期(年)	自转周期(地球为 1)	质量(地球为 1)	体积	赤道面与公转轨道面的夹角
地球	1.496	6 378	1	23 时 56 分 4 秒	1	1	23°26′
火星	2.279	3 395	1.9	24 时 37 分	0.11	0.15	23°59′

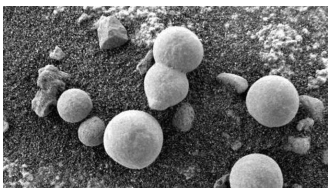

1. 科学界大多认为图中白色球状物不是火星土壤生长出的“蘑菇”，其主要依据是火星(　　)

A. 无大气层　　B. 表面光照太强

C. 无液态水　　D. 表面温度太高

2. 易对地球上接收火星“蘑菇”照片信号产生干扰的是(　　)

A. 太阳活动　　B. 火山活动

C. 太阳辐射　　D. 臭氧层空洞

2020 年 11 月 24 日，“嫦娥五号”探测器成功发射升空。12 月 17 日凌晨，“嫦娥五号”携带月壤返回地球并安全着陆。下图为“嫦娥五号”返回路线示意图。完成 3～4 题。

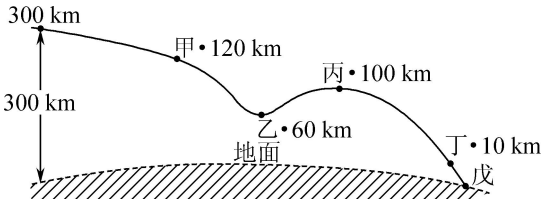

3. “嫦娥五号”升空过程中依次经过的大气层是(　　)

A. 对流层、平流层、高层大气　　B. 高层大气、平流层、对流层

C. 平流层、对流层、高层大气　　D. 对流层、高层大气、平流层

4. “嫦娥五号”返回途中，可能发生的现象是(　　)

A. 甲—乙段出现雷雨天气　　B. 乙—丙段出现了臭氧层

C. 丙—丁段空气对流显著　　D. 丁—戊段空气密度增大

不透水面是指由沥青、水泥为原材料所填充成的房屋、公路以及广场等存在不透水特性的地表面。下图示意 1978—2018 年厦门市不透水面面积的变化。据此完成 5～7 题。

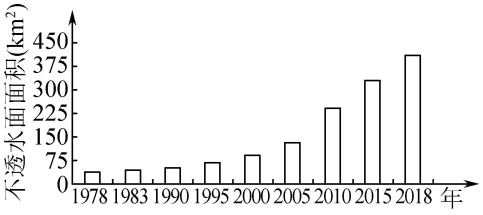

5. 影响厦门市不透水面面积变化的主要因素是(　　)

A. 经济发展水平　　B. 地形　　C. 交通状况　　D. 河流水系

6. 厦门市不透水面面积增加最迅速的时期是(　　)

A. 1995—2000 年　　B. 2000—2005 年　　C. 2005—2010 年　　D. 2010—2015 年

7. 不透水面面积的增加，给厦门市带来的不利影响是(　　)

A. 生物多样性增加　　B. 地下水位上升　　C. 空气湿度增大　　D. 热岛效应增强

一批货物从上海通过海运运输到伦敦。读图完成 8～10 题。

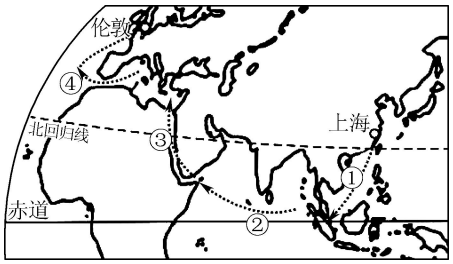

8. 运输途中所经海域，盐度和密度最大的是(　　)

A. ①　　B. ②　　C. ③　　D. ④

9. 轮船通过直布罗陀海峡时，该海峡两侧的海水流动情况为(　　)

A. 表层和底层海水都是由大西洋流向地中海

B. 表层和底层海水都是由地中海流向大西洋

C. 底层海水由大西洋流向地中海，表层海水由地中海流向大西洋

D. 表层海水由大西洋流向地中海，底层海水由地中海流向大西洋

10. 将要进入伦敦港时，轮船的航行情况为(　　)

A. 顺风顺水　　B. 逆风逆水　　C. 顺风逆水　　D. 逆风顺水

河流阶地是沿河分布在洪水位以上的阶梯状地形。地壳运动的稳定期河流以侧蚀作用为主，形成宽阔的谷底或平原。地壳运动的上升期河流下切，原来的谷底或平原被抬升成为阶地。下图示意某河流上游河段的单侧断面，洪水期河水仅能淹没 T_0。读图完成 11～12 题。

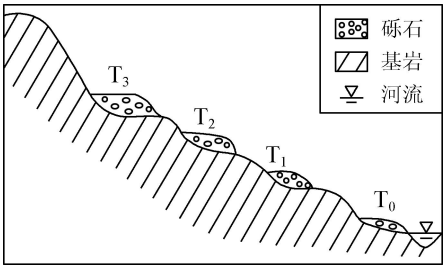

11. 图中(　　)

A. T_1 阶地、T_0 阶地形成早

B. 河谷不断变宽变深

C. 阶地适于建设大型港口

D. 河床海拔逐渐升高

12. 任一级河流阶地沉积物堆积过程中(　　)

A. 地壳相对稳定　　B. 地壳持续上升

C. 河流不断下切　　D. 河流间断上升

黄土塬又称黄土平台、黄土桌状高地，塬是中国西北地区对顶面平坦宽阔、周边为沟谷切割的黄土堆积高地的俗称。下图为某黄土塬演变示意图。据此完成 13～14 题。

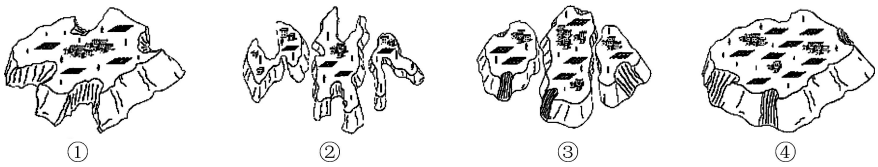

13. 该黄土塬地貌演变的顺序是(　　)

A. ②③①④　　B. ④①③②　　C. ①③②④　　D. ④①②③

14. 影响该黄土地貌变化的主要原因是(　　)

A. 流水侵蚀　　B. 流水堆积　　C. 风力沉积　　D. 风力侵蚀

下图为祁连山西段某山间盆地边缘示意图。其山坡、冲积扇和冲积平原的植被均为草原，其中冲积平原草原茂盛。山坡表面多覆盖有沙和粉沙物质，该地冬春季节多风。据此完成 15～16 题。

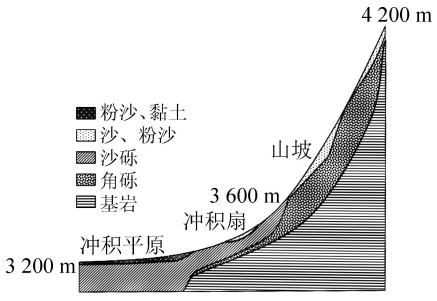

15. 山坡上部堆积物中的砾石分选性和磨圆性较差，与之相关的因素主要为(　　)

① 重力作用　② 风力搬运　③ 流水搬运　④ 冰川搬运

A. ①②　　B. ②③　　C. ③④　　D. ①④

16. 山坡表面覆盖的沙和粉沙物质主要来源于(　　)

A. 冲积平原　　B. 冲积扇　　C. 冲积扇和冲积平原　　D. 山顶

读“土壤与其他自然地理要素的关系图”，回答17～18题。

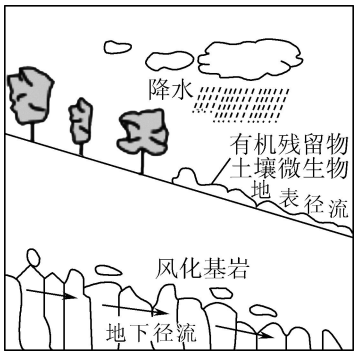

17. 自然发育的土壤中有机质含量最高的是(　　)

A. 黑土　　B. 红壤　　C. 水稻土　　D. 寒漠土

18. 在适宜的日照和温度条件下，岩石表面发育为“年幼”土壤的主要原因是(　　)

A. 流水的沉积作用　　B. 风力的侵蚀作用

C. 苔藓类生物活动　　D. 高等植物的生长

2021年7月20日起，郑州由于连降暴雨，形成了特大洪涝灾害，这对人们的生命和财产安全造成了重大威胁。据此完成19～20题。

19. 与郑州特大洪涝灾害的形成关联性最小的是(　　)

A. 地势平坦，排水不畅　　B. 降水集中，强度大

C. 海水倒灌，河流排水慢　　D. 路面硬化多，下渗慢

20. 当个人面对洪水时，应采取的措施是(　　)

A. 在室内要紧闭门窗，躲在地下室　　B. 在山里要迅速向山下安全的地方逃生

C. 被洪水包围时留在原地等待救援　　D. 落入洪水时抓住漂浮物体向高处逃生

2021年8月23日，“祝融号”火星车已在火星表面工作100个火星日，累计行驶里程突破1 000 m。下图为“祝融号”火星车传回地球的火星表面照片。读图完成21～22题。

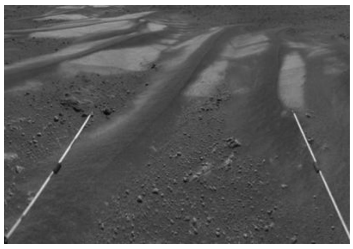

21. “祝融号”火星车登陆火星，说明人造天体已经可以离开(　　)

A. 地月系　　B. 太阳系　C. 银河系　　D. 河外星系

22. 下列对“祝融号”火星车将信号传回地球影响较大的是(　　)

A. 太阳辐射　B. 太阳活动　C. 地震　　D. 台风

2021年4月27日，“超级月亮”首次现身夜空，此时的月亮看上去更大、更圆(下图)，完成23～24题。

23. 比“超级月亮”所属的最低级别天体系统高一个级别的是(　　)

A. 地月系　　B. 太阳系

C. 银河系　　D. 河外星系

24. 与月球相比，地球更不容易遭受陨石袭击的原因是(　　)

A. 离小行星带更远　　B. 自转周期适中

C. 有大气层的保护　　D. 地壳厚度较大

科学家预测2023—2024年太阳活动将达到峰值。读甲、乙两幅不同年份太阳黑子图，完成25～26题。

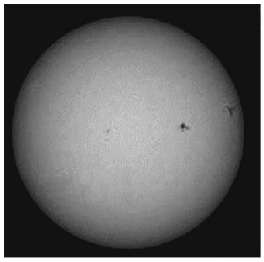

甲

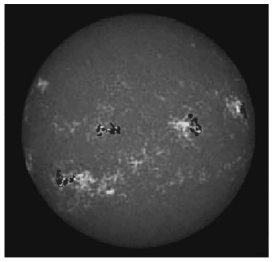

乙

25. 甲图拍摄的年份最可能是(　　)

A. 2010年　　B. 2012年　　C. 2015年　　D. 2018年

26. 乙图所示年份，受太阳活动影响，地球上(　　)

A. 赤道附近极光出现的频率增加　　B. 世界各地降水增多

C. 指南针常常无法正确指示方向　　D. 环太平洋火山喷发异常增多

下图为太阳辐射量随纬度分布示意图。总辐射量是考虑了受大气削弱之后到达地面的太阳辐射；有效总辐射量是考虑了大气和云的削弱之后到达地面的太阳辐射。完成 27～28 题。

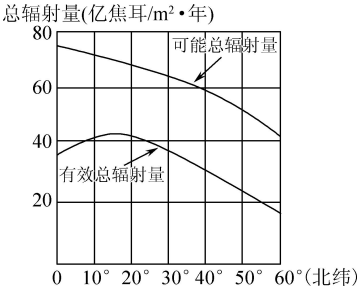

27. 影响可能总辐射量分布的主要因素是(　　)

A. 大气云量　　B. 大气厚度

C. 纬度　　D. 大气密度

28. 下列纬度带，云量最多的是(　　)

A. 赤道　　B. 北纬 20°

C. 北纬 40°　　D. 北纬 60°

中国地震台网正式测定：2021 年 5 月 30 日 12 时 50 分，青海果洛州玛多县(北纬 34.67 度，东经 98.31 度)发生 4.9 级地震，震源深度 9 km。下图为“地球内部圈层局部示意图”。完成 29～30 题。

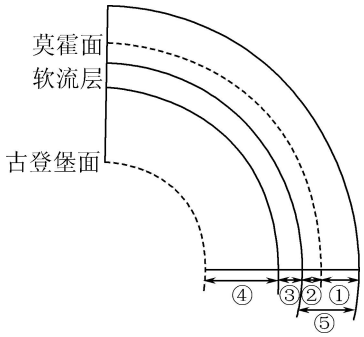

29. 此次地震震源位于图中(　　)

A. ①　　B. ②

C. ③　　D. ④

30. 关于地球内部圈层，说法正确的是(　　)

A. ①圈层是岩石圈，由固体岩石组成

B. ②圈层中纵波传播速度比横波快

C. ④圈层是上地幔，软流层位于其顶部

D. ⑤圈层为岩石圈，平均厚度为 17 千米

2021 年，我国科学家在天山周边发现大型恐龙化石，命名为“中国丝路巨龙”。下表为该类恐龙生存的地质年代特征。据此完成第 31 题。

地质年代	距今时间(万年)	构造阶段	植物演化阶段	动物演化阶段
中生代	25 200～6 600	联合古陆解体	裸子植物时代	爬行动物时代

31. 该地质年代(　　)

A. 温暖海水中出现三叶虫　　B. 是地质历史上的成煤时期

C. 被子植物已经基本灭绝　　D. 已形成现代海陆分布格局

北京时间2021年6月17日9时22分，神舟十二号载人飞船发射成功，并于15时54分与距地400 km的天和核心舱成功对接。18时48分，航天员聂海胜、刘伯明、汤洪波先后进入天和核心舱，标志着中国人首次进入自己的空间站。下图为大气垂直分层示意图。读图，完成32～34题。

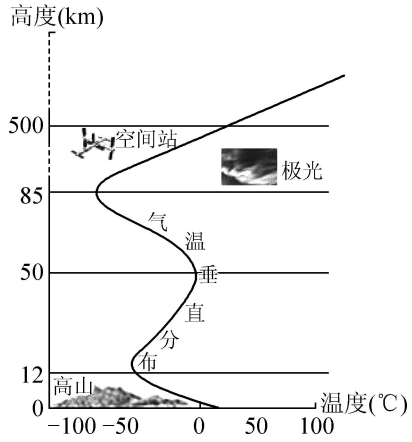

32. 神舟十二号载人飞船发射过程中(　　)

A. 会依次经过平流层、对流层、高层大气

B. 气温先降低，后升高，再降低，再升高

C. 外部空气密度越来越小，气压越来越大

D. 超过50 km后各种天气现象逐渐消失

33. 中国空间站所处的最低一级天体系统是(　　)

A. 地月系　　B. 太阳系

C. 银河系　　D. 河外星系

34. 中国空间站可能面临的来自宇宙空间的威胁有(　　)

① 超强的紫外辐射　② 极光的干扰　③ 耀斑的突然爆发　④ 巨大的温差

A. ①②③　　B. ①②④

C. ①③④　　D. ②③④

熏烟驱霜是指霜冻来临前点火生烟，以减轻霜冻冻害(如下图)。读大气受热过程示意图，完成35～36题。

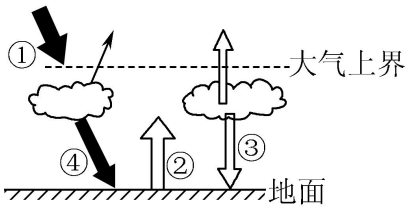

35. 熏烟能够减轻霜冻的原因是(　　)

A. 削弱大气逆辐射　　B. 削弱太阳辐射

C. 增强大气逆辐射　　D. 增强地面辐射

36. 图中反映近地面大气温度升高的热量传递过程是(　　)

A. ①—②—③　　B. ①—④—②

C. ②—③—④　　D. ③—④—②

读沙漠地区绿洲示意图，完成37～38题。

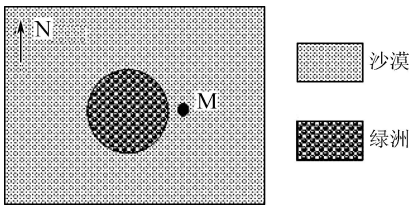

37. 如果图示地区位于北半球，夜晚M地的风向为(　　)

A. 西南风　　B. 东北风

C. 东南风　　D. 西北风

38. 造成该地区风向昼夜反向的原因是(　　)

A. 太阳辐射多少差异　　B. 降水多少差异

C. 下垫面热力性质差异　　D. 地势高低差异

被称为高速公路“流动杀手”的团雾，大多是由于局部区域近地面空气水汽充足时，地面辐射降温而形成的浓雾。下图是沪宁高速公路示意图。据此完成39～40题。

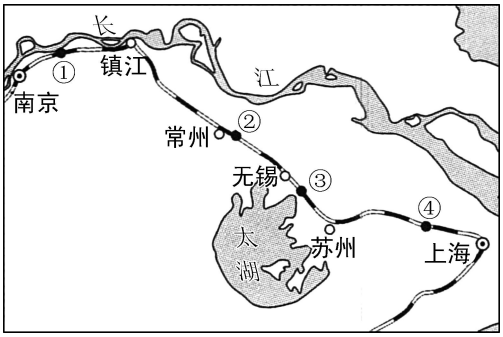

39. 一天当中，团雾的多发时段往往是(　　)

A. 0～6时　　B. 6～12时

C. 12～18时　　D. 18～24时

40. 沪宁高速公路团雾发生频率最大的地点是(　　)

A. ①　　B. ②　　C. ③　　D. ④

在较大湖泊和湖岸之间常常形成以一天为周期的湖风和岸风，8月某日我国鄱阳湖地区湖风和岸风明显。下图示意该日湖口和进贤南北方向平均风速逐时距平日变化曲线(正距平为南风，负距平为北风)。读图完成41～42题。

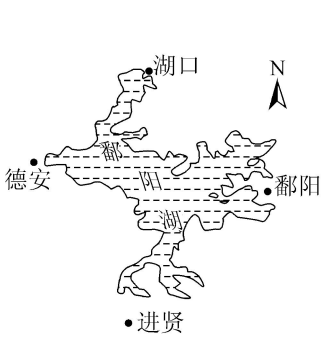

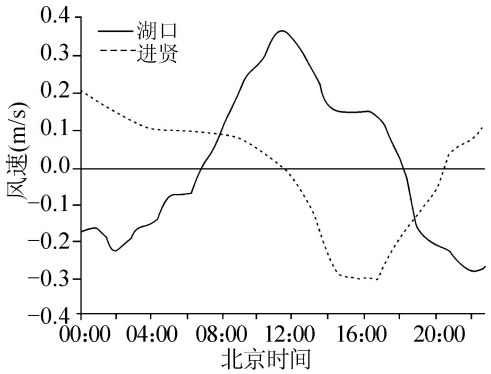

41. 该日湖口与进贤南北风向基本相同的时刻在(　　)

A. 00：00～04：00　　B. 07：00～11：00

C. 12：00～18：00　　D. 21：00～00：00

42. 该日鄱阳与进贤的风向转换时间相似，该日18时鄱阳的主要风向应是(　　)

A. 偏东风　　B. 偏南风　　C. 偏西风　　D. 偏北风

二、综合题：

43. 阅读图文资料，回答下列问题。

“绿洲冷岛效应”指干旱地区的绿洲区域，夏季气温比附近沙漠、戈壁低，湿度比周边大的特殊气象效应。兰州高原大气物理研究所的科研人员对河西走廊的某绿洲和沙漠的气温观测发现，在7～8月天气稳定的状态下，会出现“绿洲冷岛效应”。下图示意该绿洲和附近沙漠7月某日地表温度的变化。

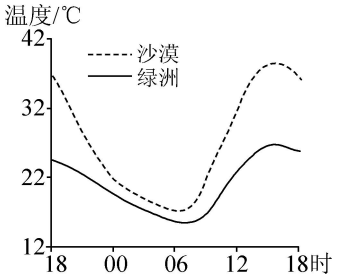

(1) 指出绿洲与邻近沙漠之间近地面大气的运动方向，并分析其形成原因。

(2) 指出06时～15时绿洲和沙漠间近地面风力的变化，并分析原因。

(3) 分析绿洲夜间地表温度仍低于沙漠的主要原因。

44. 读东南亚马来群岛部分地区示意图，完成下列问题。

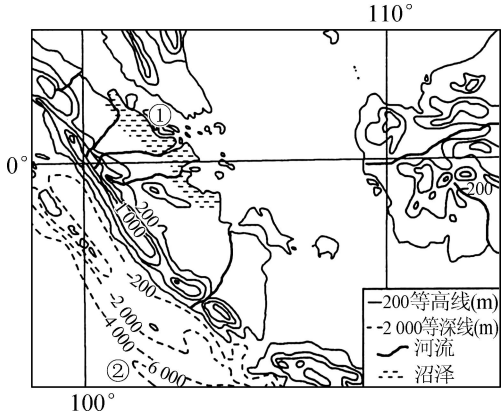

(1) 说出该区域表层海水温度特点，并分析原因。

(2) 比较①和②海域表层海水盐度的差异，并分析原因。

(3) ①海域风浪小，是世界上著名的海上运输通道，说明该海域对轮船航行的影响。

45. 下图为黄河上游局部图，读图回答下列问题。

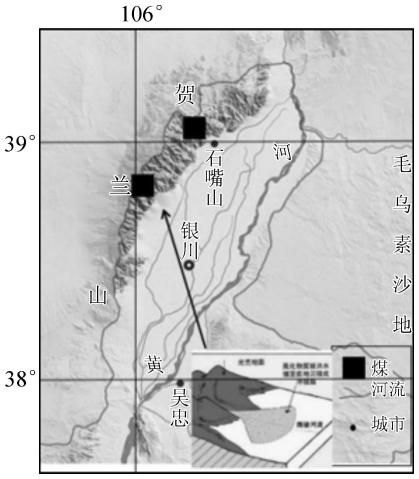

(1) 图中箭头所指地区属于流水地貌中的_____，这种地貌一般分布在山麓或沟谷出口处，其沉积物颗粒大小的分布规律是。

(2)影响到达地面的太阳辐射量的因素主要有纬度、地形地势、昼夜长短(日照时数)、气候和天气(大气透明度)、下垫面(地表状况)等。宁夏是我国光伏发电的集中产业区，试分析该地年太阳辐射总量丰富的原因。

(3)毛乌素沙地是我们常见的_____地貌。风沙在运动过程中常给人们的生产生活带来危害，西北人民常用草方格沙障来治理流动沙丘，请你说一说该方法治理流沙的原理。

46. 读“我国泥石流分布示意图”，完成下列各题。

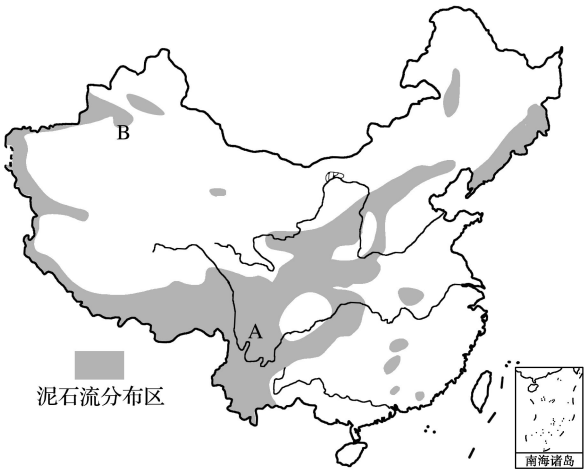

(1)图中 A 地区是我国泥石流多发地区，导致该地区泥石流多发的自然原因有哪些？

(2)图中 B 地区泥石流较 A 地区少，试分析其原因。

(3)人类活动及其对自然环境施加的影响，也可以直接或间接地诱发泥石流，这些人类活动主要有哪些？

(4)人类认识和掌握了客观规律，也可以减少泥石流的发生。据你所知，人类减轻泥石流危害的针对性措施有哪些？